

# بازشناسی خودکار حالت عاطفی مبتنی بر تغییرات فیزیولوژیک

بهروز مجرّدشفيعی<sup>۱</sup>، محمد رضا یزدچی<sup>۲</sup> و مهران عمادی اندانی<sup>۳</sup>

<sup>۱</sup> کارشناسی ارشد، گروه مهندسی پزشکی، دانشکده فنی و مهندسی، دانشگاه اصفهان

<sup>۲</sup> استادیار، گروه مهندسی پزشکی، دانشکده فنی و مهندسی، دانشگاه اصفهان

## چکیده:

بازشناسی خودکار حالت عاطفی به منظور بهبود ارتباط انسان و رایانه، تحقیقات بالینی و کاربردهای متنوع دیگر در چند سال اخیر مورد توجه محققان بوده است. از جمله روش‌های بازشناسی خودکار حالت عاطفی که نسبت به روش‌های دیداری-شنیداری، به آن توجه کمتری شده است، نظرات بر تغییرات فیزیولوژیک به وسیله ثبت سیگنال‌های محیطی می‌باشد. حالت‌های مختلف عاطفی باعث تحریک دستگاه عصبی خودمنختار و به دنبال آن تغییرات فیزیولوژیک به وسیله دو بخش سمعی و پاراسمپاتیک و ایجاد الگوهای مشخص در سیگنال‌های محیطی می‌شود. در این پژوهش سعی می‌گردد، آزمایشی مطمئن به منظور ایجاد چهار وضعیت عاطفی مشخص در ۲۵ داوطلب سالم و ثبت همزمان سیگنال‌های محیطی برپا شود. همچنین، روش جدیدی در انتخاب افراد شرکت‌کننده در آزمایش پیشنهاد می‌گردد. علاوه بر آن پس از پیش‌پردازش‌های مناسب، ویژگی‌های متنوعی از سیگنال‌ها استخراج می‌شود. در ادامه، مقایسه‌ای بین روش‌های کاهش بعد و دسته‌بندی کننده برای نیل به بهترین درصد صحت تفکیک، چهار وضعیت عاطفی انجام می‌شود. روش پیشنهاد شده می‌تواند حالت‌های عاطفی مشخص را با دقیق میانگین ۸۴٪/۳ برای روش‌های مختلف کاهش بعد و دسته‌بندی کننده تفکیک کند. نتایج این پژوهش می‌تواند به بروز آزمایشگاهی شدن این روش بازشناسی کمک نماید.

واژگان کلیدی: بازشناسی حالت عاطفی، دستگاه عصبی خودمنختار، پردازش سیگنال‌های حیاتی، استخراج ویژگی، کاهش بعد، دسته‌بندی.

برای بینایی و شنوایی انسان نیز اتفاق می‌افتد (Picard et al., 2001). به بیان دیگر فرآیند تصمیم‌گیری در مغز انسان محدود به محاسبه و منطق که توسط قشر فوقانی انجام می‌گیرد، نیست بلکه عواطف (که منشأ آن‌ها در مغز میانی است) نیز در تصمیم‌گیری دخیل هستند. شواهد نشان داده است پیش از آن که مسأله در سطح شناختی، با بازنمایی کامل حرکت خارجی پردازش شود، پردازش آن در سطح ادرارکی با کمک یک بازنمایی ساده‌تر از حرکت خارجی توسط عواطف صورت می‌گیرد. با توجه به این پردازش، جواب موقتی، سریع و به نسبت خوبی تولید می‌گردد. از این‌رو پردازش عاطفی به فرآیند تصمیم‌گیری سرعت می‌بخشد (Custódio et al., 1999).

در گذشته ارتباط انسان با رایانه (HCI)<sup>۱</sup> به استفاده از صفحه‌کلید و موشواره محدود می‌شد؛ امروزه روش‌های

## ۱- مقدمه

احساسات نقش مهمی در زندگی ایفا می‌کند؛ به طوری که تمامی لحظات ما با احساسات ناخوشایند یا دلپذیر غنی می‌گردند. راهنمای احساسی علاوه بر این که به زندگی ما مفهوم می‌بخشد و رابط ما با جهان فیزیکی است، مبنای بسیاری از تصمیم‌گیری‌های ما نیز می‌باشد (Larsen et al., 2008).

تحقیقات اخیر علوم اعصاب، نشان می‌دهد که منطقه پردازش عاطفی مغز، عمل بازشناسی الگو را قبل از رسیدن سیگنال‌های ورودی به قشر مغز (که وظيفة ارتباط با دنیای بیرون و شناخت را به عهده دارد) انجام می‌دهد. قبل از این که منطقه مربوط به شنوایی در قشر مغز موش صحرایی فعال شود، این موجود می‌تواند بیاموزد که از یک صدای خاص بترسد. همچنین اعتقاد بر این است که روند مشابهی

<sup>۱</sup> Human Computer Interaction

سال ۱۳۹۰ شماره ۲ پیاپی ۱۶

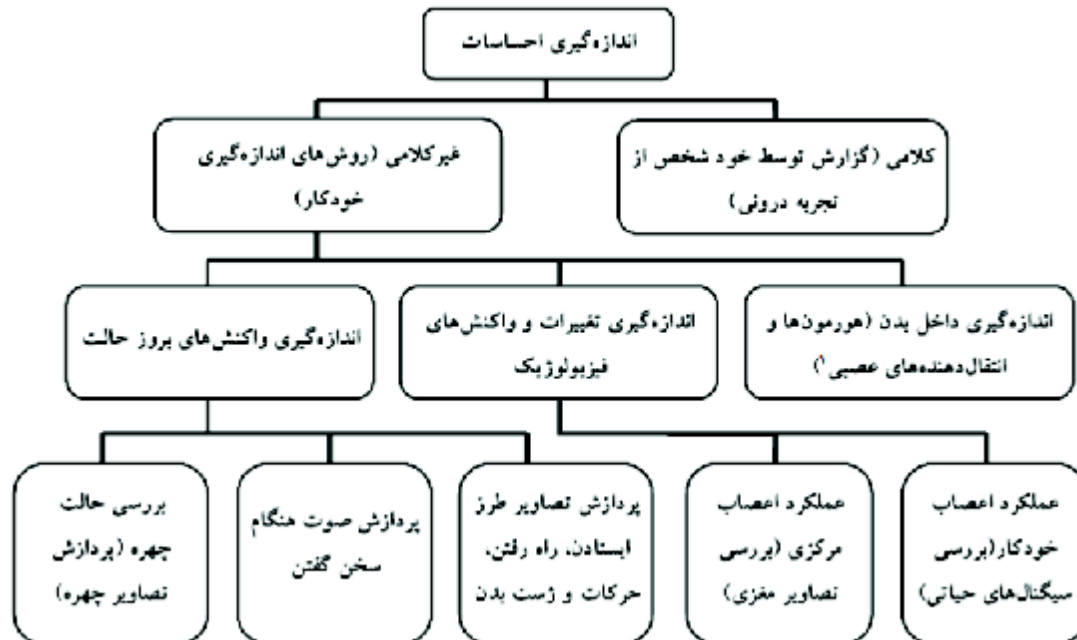
محاسبات عاطفی<sup>۶</sup> در علوم برق و رایانه گشوده است. هدف از ایجاد این زمینه جدید، گسترش محاسباتی است که به بازشناسی، تفسیر، تحریک یا بیان احساسات انسان توسط رایانه منجر شود (Picard, 2003).

اگرچه هر فرد وجود احساسات را در خویش تأیید می‌کند، تعریف دقیق آن پیچیده است و به سؤالاتی همچون "احساسات چیست؟"، "علت به وجود آمدن آن چیست؟" و "چرا ما از آن برخورداریم؟" هنوز پاسخ واحدی داده نشده است (Picard, 2003). برای مشاهده سؤالات مطرح و بی‌پاسخ در زمینه نظریه احساس می‌توانید به (Lazarus, 1991) مراجعه نمایید. با توجه به (Desmet et al., 2001) بهترین و کاربردی‌ترین تعریف که از احساس و اندازه‌گیری آن شده است به این قرار می‌باشد: احساس پدیده‌ای است مشتمل از چهار مؤلفه: ۱- واکنش‌های رفتاری (به عنوان مثال انتخاب شیوه در برخورد با اشخاص یا مسائل). ۲- واکنش‌های بروز حالت<sup>۷</sup> (همچون تغییرات در چهره و صدای شخص). ۳- واکنش‌های فیزیولوژیک<sup>۸</sup> (برای مثال تغییرات نرخ ضربان قلب یا نرخ تنفس هنگام وحشت). ۴- تجربه ذهنی و درونی<sup>۹</sup> (به عنوان نمونه احساس سردرگمی یا ناامیدی). هر ابزار که ادعای اندازه‌گیری احساس یا بازشناسی حالت عاطفی را دارد، درواقع یکی از

جدیدی همچون استفاده از صدا و تصویر ایجاد شده است. در نتیجه رایانه یا ماشین می‌تواند در سطح بالاتری با کاربر ارتباط برقرار کند. با وجود پیشرفت‌های چشمگیر در این زمینه، فقدان یک عنصر مهم برای ارتباط طبیعی هنوز محسوس است. این عنصر مهم همان موضوع احساس و حالت عاطفی فرد می‌باشد. هرچند ماشین به تمام مهارت‌های احساسی نیاز ندارد؛ ولی شواهد نشان می‌دهد حداقل به بعضی از این مهارت‌ها برای ارتباط هوشمندانه با انسان نیازمند است (Picard et al., 2001).

مطالعه و بازشناسی حالات عاطفی، علاوه‌بر بهبود ارتباط انسان و رایانه از لحاظ کاربردهای تشخیصی و بالینی نیز اهمیت دارد. از آنجایی که احساسات با نیازها و انگیزه‌های فرد رابطه نزدیک دارد، می‌تواند ریشه بسیاری از اختلال‌های روانی یا روان‌تنی باشد. درنتیجه، بازشناسی حالات عاطفی می‌تواند به روان‌پزشکان در شناخت، تشخیص و درمان Kreibig (2010). علاوه‌بر آن بازشناسی خودکار حالت عاطفی می‌تواند در زمینه‌های دیگری همچون تحقیقات بازار<sup>۱۰</sup>، آموزش از راه دور<sup>۱۱</sup> بیوفیدبک<sup>۱۲</sup>، ارتقای سطح خودآگاهی<sup>۱۳</sup>، پژوهش‌های رباتیک و تحقیقات واقعیت مجازی<sup>۱۴</sup> بسیار مفید واقع شود (Gratch and Marsella, 2004).

این حقایق زمینه تحقیقاتی جدیدی را با نام



(Desmet et al., 2001)

<sup>6</sup>Affective Computing

<sup>7</sup>Neurotransmitters

<sup>8</sup>Expressive Reactions

<sup>9</sup>Physiological Reactions

<sup>10</sup>Subjective Feelings

<sup>11</sup>Market Research

<sup>12</sup>Distance Learning

<sup>13</sup>Biofeedback

<sup>14</sup>Self-awareness Enhancement

<sup>15</sup>Virtual Reality Research

برقرار می‌کند و شامل دو بخش دستگاه سمباتیک<sup>۱۲</sup> و پاراسمباتیک<sup>۱۳</sup> است (Kreibig, 2010). در این مقاله عبارت "سیگنال‌های محیطی" تنها به مفهوم اندازه‌گیری فعالیت‌های دستگاه عصبی محیطی همچون فعالیت قلب و گردش خون، تنفس، فعالیت ماهیچه‌ای و رسانایی پوست استفاده شده است.

در این مطالعه در ابتدا مهم‌ترین تحقیقات انجام شده در این زمینه مرور می‌شود. سپس با توجه به نتایج این پژوهش‌ها، محدودیت‌ها و معیارهای مهم انجام صحیح آزمایش بررسی می‌گردد. در ادامه نحوه برپایی آزمایش و ثبت داده‌ها توضیح داده می‌شود. بعد از آن چگونگی پیش‌پردازش سیگنال‌ها و استخراج ویژگی‌ها از سیگنال بررسی می‌گردد. سپس، به مقایسه روش‌های مختلف کاهش بُعد، انتخاب ویژگی، دسته‌بندی و نتایج حاصل از اعمال آن‌ها بر داده‌ها پرداخته می‌شود. در پایان نتایج حاصل از این مطالعه مورد بحث قرار خواهد گرفت.

## ۲- مروری بر تحقیقات مربوطه و محدودیت‌ها

تحقیقات پیکارد و همکارانش<sup>۱۴</sup> (Picard et al., 2001; Picard, 2003) در دانشگاه<sup>۱۵</sup> MIT نشان می‌دهد که با ثبت سیگنال‌های محیطی از قبیل سیگنال فعالیت الکتریکی قلبی (ECG<sup>۱۶</sup>، سیگنال رسانایی پوست<sup>۱۷</sup> (GSR)، فعالیت الکتریکی ماهیچه‌ای (EMG<sup>۱۸</sup>، سیگنال تنفسی (RSP<sup>۱۹</sup>) و دمای پوست (SKT<sup>۲۰</sup>) می‌توان به بازناسی قابل قبولی برای الگوهای عاطفی دست یافت. در یک پژوهش (Picard et al., 2001)، آنها از روش تصوّر<sup>۲۱</sup> برای تحریک احساسات استفاده کردند. ایشان، از یک شخص که دو سال سابقه بازیگری داشت، خواستند هشت حالت احساسی را به نمایش بگذارند؛ این کار را طی ۳۲ روز ادامه دادند و هر بار به مدت سه دقیقه از هر حالت احساسی ثبت گرفتند. بهترین نتایج روی دسته‌های مختلف سه‌تایی ۷۵-۸۷٪ گزارش شده است و به صورت کلی صحت ۸۱٪ برای هشت حالت احساسی مختلف به دست آمد. پژوهش جالب دیگری توسط کیم و همکارانش<sup>۲۲</sup> در سال ۲۰۰۴ انجام شد و دادگان مناسبی را

این مؤلفه‌ها را اندازه‌گیری می‌کند (Desmet et al., 2001). با توجه به این تعریف روش‌های اندازه‌گیری احساسات را می‌توان به صورت (شکل ۱) طبقه‌بندی کرد (Desmet et al., 2001).

در ده سال اخیر با رشد فرآینده رایانه‌ها، تلاش‌های بسیاری در بازناسی خودکار حالت عاطفی به جای روش‌های سنتی (همچون گزارش احساس توسط خود فرد<sup>۲۳</sup>) صورت گرفته است (Picard et al., 2001). در (Zeng et al., 2009) مروری بر این تحقیقات شده است. بیشتر تحقیقات در این زمینه به صورت بازناسی حالت چهره<sup>۲۴</sup>، حالت سخن-گفتن و صدای فرد یا طرز حرکات و رفتار شخص<sup>۲۵</sup> است و تاکنون توجه کمتری به بازناسی بر مبنای تغییرات فیزیولوژیک نسبت به بازناسی بر مبنای روش‌های دیداری-شنیداری<sup>۲۶</sup> شده است. این مطلب به خاطر محدودیت‌هایی می‌باشد که این روش بازناسی حالت عاطفی دارد که در قسمت بعد به آن اشاره خواهیم کرد.

علی‌رغم تمامی محدودیت‌ها، نشان داده شده است که سیگنال‌های فیزیولوژیک توانایی قابل قبولی در بازناسی حالت عاطفی دارند (Kreibig, 2010). علاوه‌بر آن دارای مزایایی نسبت به روش‌های دیداری-شنیداری هستند. به عنوان مثال روش تحلیل حالت چهره دارای محدودیت‌هایی همچون درستنمایی<sup>۲۷</sup> در اندازه‌گیری احساس به دلیل (پوشاندن احساس توسط فرد<sup>۲۸</sup>) یا تفاوت‌های فرهنگی در بروز احساسات است و نیاز به حضور مدام شخص مقابل دوربین دارد و نیز شامل بسیاری از محدودیت‌های دیگر مربوط به یک سیستم بینایی ماشین<sup>۲۹</sup> می‌شود. در روش پردازش صوت، با مشکلاتی همچون عدم سخن گفتن فرد و اعوجاجات و کج‌شکلی‌های بسیار در کاربردهای عملی و بروز آزمایشگاهی مواجهیم (Zeng et al., 2009).

از دیدگاه فیزیولوژی اعصاب اندازه‌گیری احساسات می‌تواند به بررسی تغییرات در دستگاه عصبی مرکزی (CNS<sup>۳۰</sup>) و دستگاه عصبی محیطی (PNS<sup>۳۱</sup>) محدود شود. PNS، به دو بخش عمده دستگاه عصبی پیکری<sup>۳۲</sup> و دستگاه عصبی خودمخترار شامل نورون‌های حسی و نورون‌های عصبی خودمخترار شامل نورون‌های حسی و نورون‌های حرکتی است که بین دستگاه عصبی مرکزی و انواع ارگان‌های داخلی بدن مانند قلب، ریه‌ها، احشا و غدد ارتباط

<sup>12</sup> Sympathetic

<sup>13</sup> Parasympathetic

<sup>14</sup> Picard et al.

<sup>15</sup> Massachusetts Institute of Technology

<sup>16</sup> Electrocardiogram

<sup>17</sup> Galvanic Skin Response (Electrodermal Activity)

<sup>18</sup> Electromyogram

<sup>19</sup> Respiration

<sup>20</sup> Skin Temperature

<sup>21</sup> Imagery

<sup>22</sup> Kim et al.

<sup>16</sup> Autonomic Nervous System

<sup>17</sup> Central Nervous System

<sup>18</sup> Peripheral Nervous System

<sup>19</sup> Somatic Nervous System

<sup>20</sup> Autonomic Nervous System



در (جدول ۱) مهم‌ترین تحقیقات انجام شده در این زمینه گردآوری شده است. مقایسه بین این مطالعات مشکل است؛ زیرا معیارهای مورد استفاده در هر مطالعه متفاوت می‌باشد و در هر یک از این پژوهش‌ها بر روی ضوابط خاصی تأکید شده است. مهم‌ترین این ضوابط عبارتند از: ۱- تعداد و مشخصات افراد شرکت‌کننده در آزمایش ۲- روش ایجاد احساسات<sup>۳</sup> ۳- سیگنال‌های محیطی ثبت شده و متغیرهای احساسات ۴- مدل استفاده شده (دسته حالت عاطفی مورد نظر و روش برچسب‌گذاری) ۵- روش تحلیل داده‌ها (روش پیش‌پردازش، استخراج ویژگی، کاهش بُعد، دسته‌بندی و غیره). نتایج این تحقیقات نشان‌گر حساسیت بالا در برقراری همبستگی بین سیگنال‌های فیزیولوژیک و الگوهای عاطفی با توجه به محدودیت‌های مختلف می‌باشد. درنتیجه ملزم به رعایت ضوابط خاص در تمامی مراحل این بازناسی می‌باشیم. با توجه به نتایج این مطالعات مهم‌ترین این محدودیت‌ها بدین شرح است:

۱- بسیار مشکل است که نگاشت واحدی بین الگوهای فیزیولوژیک و حالت‌های عاطفی مشخص برقرار کرد. زیرا یک حالت عاطفی تابع زمان، محیط، فرهنگ، شخصیت و

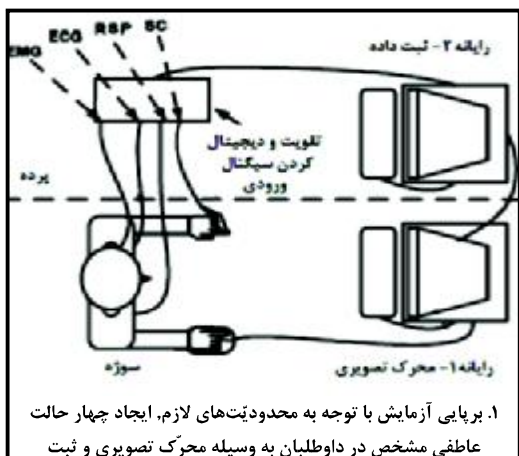
به این منظور ثبت کردند (Kim et al., 2004). تحقیق آن‌ها به صورت مستقل از فرد<sup>۱</sup> می‌باشد بدین معنی که بر روی یک کودک یا کودکانی با ویژگی‌های مشترک انجام نشده است. دادگان شامل دو دسته است؛ دسته اول مربوط به ۱۲۵ نفر کودک ۵-۸ سال و دسته دوم مربوط به پنجاه نفر کودک ۷-۸ سال می‌باشد. آن‌ها از روش (دیداری، شنیداری و شناختی) برای ایجاد حالات عاطفی در کودک استفاده کردند؛ یک شخصیت اسباب‌بازی داستان‌هایی را مطابق با چهار حالت ناراحتی، استرس، خشم و تعجب تعریف می‌کند و به صورت همزمان موسیقی متناسبی بهمنظور کمک به قرار گرفتن کودکان در فضای احساسی داستان پخش می‌شود. سیگنال‌های مورد استفاده HR، GSR، ECG و SKT<sup>۲</sup> است و زمان ثبت در هر آزمون برای هر فرد پنج دقیقه می‌باشد. دو دقیقه از آن برای قرار گرفتن فرد در حالت آرام است. در پایان هر آزمون، برچسب‌گذاری ارزیابی از کودکان در مورد تجربه احساسی‌شان صورت می‌گیرد. درصد صحّت تفکیک به دست آمده ۶۱٪ برای چهار دسته (ناراحتی، استرس، خشم و تعجب) و ۷۸٪ برای سه دسته (ناراحتی، استرس و خشم) می‌باشد.

(جدول ۱): مهم‌ترین تحقیقات انجام شده در زمینه بازناسی خودکار حالت‌های عاطفی مبتنی بر تغییرات فیزیولوژی

مرجع	تعداد داوطلبان	روش ایجاد احساسات	سیگنال‌های محیطی ثبت شده	دسته حالت عاطفی موردنظر	روش دسته‌بندی	بهترین صحت
(Picard et al., 2001)	۱	تلقین به خود (تصور)	ECG-RSP-GSR-EMG-BVP (Blood Volume Pulse)	خشم- شادی- ناراحتی- تنفس- تکریم- عشق افلاطونی- عشق رمانیک- خنثی	SFFS (Sequential Floating Forward Selection)-Fisher projection	%۸۱
(Lisetti and Nasoz, 2004)	۲۹	قطعات فیلم	GSR-HR-SKT	ناراحتی- ترس- خشم- تعجب- لذت- نامیدی	Neural network with Marquardt backpropagation	%۸۴
(Kim et al., 2004)	۱۵۲ کودک کودک ۵۰	ترکیب داستان‌گویی به همراه محرك‌های دیداری و شنیداری	ECG-GSR-SKT-HR	خشم- ناراحتی- استرس خشم- ناراحتی- استرس- تعجب	۱۵۲ نفر برای آموزش و ۵۰ نفر برای آزمون SVM (Support Vector Machine)	%۷۸ %۶۲
(Rani et al., 2006)	۱۵ نفر با مشخصات مشترک	استفاده از بازی‌های رایانه‌ای	ECG-RSP-GSR-EMG (zygomatic corrugators)-SKT-bioimpedance-heart sound	سه سطح شدت برای: خشم- نامیدی- اضطراب- سرگرمی- خستگی	KNN (K-nearest Neighbor) Regression tree Bayes network SVM	%۷۹ %۸۲ %۷۸ %۸۶
(Leon et al., 2007)	۹	IAPS (International Affective Picture System)	GSR-BVP-HR	خنثی- عاطفه منفی- عاطفه مثبت	۱ نفر برای تست و بقیه برای آموزش Autoassociative neural networks	%۷۱
(Katsis et al., 2008)	۱۰	در حین رانندگی	ECG-RSP-GSR-EMG	استرس بالا- استرس پایین- نامیدی- رضایت	SVM ANFIS (Adaptive neuro fuzzy inference system)	%۷۹ %۷۷
(Chanel et al., 2009)	۱۳	تصاویر	ECG-RSP-GSR	عواطف مثبت- عواطف منفی عواطف مثبت- عواطف منفی- خنثی	ANN (Artificial Neural Network)	%۶۶ %۵۱

<sup>۳</sup> Elicit Emotional States<sup>۱</sup> User-independent<sup>۲</sup> Heart Rate

نوفه و درستنماها و نیز حذف انحراف خط پایه.<sup>۱</sup>  
 ۳- محاسبه ویزگی‌های متنوع از سیگنال‌های پردازش شده.  
 ۴- مقایسه روش‌های کاهش بعد<sup>۱۰</sup> به منظور حذف مشخصه‌های غیر مرتبط و کارآیی بهتر دسته‌بندی کننده با توجه به تعداد نمونه‌های محدود. ۵- مقایسه روش‌های دسته‌بندی به منظور تفکیک بهتر الگوهای عاطفی است.



۱. برپایی آزمایش با توجه به محدودیت‌های لازم، ایجاد چهار حالت عاطفی مشخص در داوطلبان به سیگنال‌های محیطی اشاره می‌کند. هم‌زمان با ساختارهای فیزیولوژیک به صورت سیگنال‌های محیطی

۲. پیش پردازش سیگنال‌های اولیه (انتخاب قطعات با نویز کمتر، حذف نویز و درستنماها، حذف انحراف خط پایه، کاهش نمونه)

۳. محاسبه متغیرهای فیزیولوژیک و ویزگی‌های متنوع از سیگنال‌ها

۴. مقایسه روش‌های کاهش بعد (حذف ویزگی‌های غیر مرتبط و تکراری، ترکیب و استخراج ویزگی‌های جدید)

۵. مقایسه روش‌های دسته‌بندی به منظور تفکیک بهتر الگوهای عاطفی

(شکل ۲): مراحل انجام آزمایش

### ۳-۱- افراد شرکت‌کننده در آزمایش

انسان‌ها ویزگی‌های مشترک و متفاوتی با هم دارند (جنسي، سنی، فرهنگی و ...)، بنابراین گروه انتخابی برای آزمایش می‌تواند ویزگی‌های مشترک بیشتر و یا کمتری با یکدیگر داشته باشند. این موضوع می‌تواند در نتایج به دست آمده اثر قابل توجهی داشته باشد. (تفاوت‌های فردی، احساسات با پاسخ‌های متفاوت در دستگاه عصبی خودمنختار ایجاد می‌کند). بنابراین تعداد و مشخصات افراد حاضر در آزمایش مهم می‌باشد. سه انتخاب متفاوت در این زمینه وجود دارد:

<sup>9</sup> Base Line Drift

<sup>10</sup> Dimension Reduction

سال ۱۳۹۰ شماره ۲ پیاپی ۱۶

خلق<sup>۱</sup> فرد است. از طرفی مبنای مطالعه بر این اصل استوار است که احساسات مختلف باعث تحریک دستگاه عصبی خودمنختار و به دنبال آن تغییرات فیزیولوژیک به وسیله دو بخش سمپاتیک و پاراسمپاتیک می‌شود. این در حالی است که دستگاه عصبی خودمنختار یک سیستم چندمنظوره برای بسیاری از فرآیندهای غیر احساسی نیز می‌باشد. این نکته حائز اهمیت است، زیرا بیشتر موقع مشخص نیست که فعالیت دستگاه عصبی خودمنختار منعکس کننده حالت عاطفی است یا مربوط به فعالیت‌های دیگر می‌باشد.

۲- مشکل دیگر این که در این نوع بازشناسی نیاز به اتصال حس‌گرهای حیاتی به شخص است که این حس‌گرهای بسیار به حرکت شخص و درنتیجه ایجاد درستنماها<sup>۲</sup> حساسند.

۳- محدودیت بعدی، عدم وجود یک حقیقت پایه<sup>۳</sup> در این گونه بازشناسی است. بدین معنا که در روش‌های دیداری-شندیداری برچسب‌گذاری<sup>۴</sup> احساسات بر اساس قضاوت بر علائم عینی<sup>۵</sup> و مورد قبول از حالت چهره یا صدای شخص است. اما در این گونه بازشناسی برچسب‌گذاری باید بر اساس یک مفهوم ذهنی<sup>۶</sup> انجام شود. به عنوان مثال اگر برچسب یک الگوی خاص، شادی است نمی‌توان مطمئن بود که آیا شخص واقعاً در این حالت است یا خیر؟ و اگر هست شدت آن چگونه است؟<sup>۷</sup>

۴- تغییرات فیزیولوژیک می‌تواند در فواصل زمانی متفاوتی اتفاق بیفتد. بعضی تغییرات دوام چندحظه‌ای و بعضی دیگر دوام بیشتری داشته باشند. بنابراین پنجره زمانی تغییرات مهم است.

### ۳- چگونگی ثبت داده

مراحل مختلف انجام آزمایش در (شکل ۲) نمایش داده شده است. این مراحل شامل: ۱- برپایی آزمایشی به منظور ایجاد عواطف مشخص در داوطلب و ثبت هم‌زمان سیگنال‌های فیزیولوژیک (در این بخش به شرح آن می‌پردازیم). ۲- پیش‌پردازش‌های لازم بر روی سیگنال‌های اولیه همچون کاهش تعداد نمونه‌ها<sup>۸</sup>، انتخاب قطعات با نویز کمتر، رفع

<sup>1</sup> Mood

<sup>2</sup> Artifacts

<sup>3</sup> Ground Truth

<sup>4</sup> Labeling

<sup>5</sup> Objective

<sup>6</sup> Subjective

<sup>7</sup> Down Sampling

<sup>8</sup> Noise

دو محور بر هم، فضایی دو بعدی برای توصیف و نگاشت احساسات مختلف به دست می آید. محور عمودی برانگیختگی، درجه هیجانی است که توسط فرد احساس می شود که از حالت آرامش تا برانگیختگی تغییر می کند. و محور افقی ظرفیت، سطح خوش آیند بودن احساس فرد را مشخص می کند (Mehrabian, 1996). (شکل ۴)، نمایی از تشکیل فضای دو بعدی برای نگاشت و توصیف احساسات گوناگون را نشان می دهد.



(شکل ۳): فضای دو بعدی برانگیختگی - ظرفیت به منظور توصیف و نگاشت حالات عاطفی ( مجرد شفیعی و بزدچی، ۱۳۹۶) در این آزمایش به منظور در نظر گرفتن هر دو دیدگاه، چهار حالت عاطفی شادی، خشم، حزن و لذت که هم جزو احساسات پایه می باشند و هم چهار ربع فضای احساسی برانگیختگی - ظرفیت را تشکیل می دهند به عنوان حالات عاطفی هدف انتخاب شده اند.

### ۳-۳- روش ایجاد عواطف

اعتبار روش انتخابی برای تحریک و ایجاد احساسات حائز اهمیت است. روش های مختلفی برای این کار استفاده شده است؛ تصور و تخیل، استفاده از بازیگران (Picard et al., 2006)، سیستم تصاویر استاندارد عاطفی (IAPS<sup>۵</sup>) (Leon et al., 2001)، سیستم تصاویر استاندارد عاطفی (IADS<sup>6</sup>) (Lisetti and Nasoz, 2007)، استفاده از قطعات فیلم (Rani et al., 2004)، استفاده از بازی های رایانه ای (Katsis et al., 2008) و بالاخره آزمایش در دنیای واقعی (Lang et al., 1999) استفاده از داده های استاندارد همچون IAPS<sup>5</sup> و IADS<sup>6</sup> (Bradley et al., 1999) این مزیت را دارد که به علت مطالعات بر روی تعداد کثیری از داوطلبان، هنجاریابی<sup>7</sup> شده اند. ولی قسمتی از این داده ها که

۱- استفاده از عموم افراد. ۲- استفاده از گروه های با مشخصات مشترک سنی، جنسی، فرهنگی، تحصیلی و غیره (Picard et al., 2006). ۳- استفاده از یک شخص (Rani et al., 2001).

در این پژوهش سعی شده است با استفاده از آزمون های معتبر روان شناسی، افراد با سلامتی بالاتر و خصوصیات شخصیتی مشترک بیشتری انتخاب شوند. در این پژوهش از ۲۵ داوطلب مرد در رده سنی ۲۰ تا ۲۶ سال استفاده شده است. این ۲۵ نفر از بین ۶۰ نفر از دانشجویان دانشکده فنی و مهندسی دانشگاه اصفهان انتخاب شده اند. نحوه انتخاب این افراد بدین ترتیب می باشد: این ۲۵ داوطلب دارای وضعیت بینایی و شنوایی طبیعی بوده و همگی راست دست می باشند. همچنین هیچ گونه سابقه بیماری روانی، عصبی و قلبی ندارند.

علاوه بر آن با استفاده از نسخه فارسی پرسشنامه ۲۸ سؤالی<sup>۱</sup> GHQ، وضعیت سلامت عمومی افراد سنجیده شده است، این پرسشنامه سلامت عمومی را در چهار حوزه: علایم جسمانی، علایم اضطرابی، کار کرد اجتماعی و علایم Goldberg and Williams، افسردگی اندازه گیری می کند (2006). منظور از سلامت عمومی، نمره ای است که دانشجویان در آزمون GHQ به دست می آورند. در نهایت از بین ۶۰ شرکت کننده، ۲۵ نفر از افرادی که سلامت عمومی بالاتری دارند (با توجه به نمرات آزمون GHQ) انتخاب شده اند.

### ۳-۲- انتخاب دسته حالت عاطفی

محققان به صورت کلی دو روش دسته بندی را برای توصیف و بررسی حالات عاطفی به کار می بردند. روش اول دسته بندی احساسات به صورت گستته است. در این روش احساسات، به شش احساس پایه<sup>۲</sup> تقسیم می گردد که شامل احساس ترس، خشم، شادی، حزن، حیرت و نفرت می شود. شواهد نشان داده است که این احساسات در تمامی فرهنگ ها ثابت است و بقیه احساسات ترکیبی از این احساسات پایه هستند (Kotsis et al., 2008). روش دوم حالت پیوسته می باشد. در این روش از محور هایی با مقادیر پیوسته برای توصیف احساسات استفاده می شود. از متدائل ترین این محورها، محور های برانگیختگی<sup>۳</sup> و ظرفیت<sup>۴</sup> است؛ با عمود کردن این

<sup>5</sup> International Affective Picture System

<sup>6</sup> International Affective Digitized Sounds

<sup>7</sup> Pilot Study

<sup>1</sup> General Health Questionnaire

<sup>2</sup> Basic Emotions

<sup>3</sup> Arousal

<sup>4</sup> Valence



(شکل ۴): نمایی از شرایط انجام آزمایش و  
چگونگی ثبت سیگنال

### ۳-۵- ثبت و پیش پردازش سیگنال

برای ثبت سیگنال ECG از سه الکترود اندامی (انشقاق ۱<sup>۱</sup>) استفاده شده است. در ثبت سیگنال SC، دو الکترود بر انگشت اشاره و انگشت حلقه دست چپ (با توجه به راست دست بودن تمام داوطلبان) قرار داده شده است (Rani et al., 2006; Katsis et al., 2008). برای ثبت سیگنال RSP، کمریندی به دور شکم بسته شده است که از روی میزان کشیدگی آن حین تنفس می‌توان نرخ و عمق تنفس Picard et al., 2001; Rani et al., 2006) را اندازه‌گیری کرد (Rani et al., 2006). برای سیگنال EMG از الکترودهای دوقطبی بر روی عضله ذوزنقه‌ای<sup>۲</sup> نزدیک به گردن برای اندازه‌گیری میزان استرس فرد نشان می‌دهد فعالیت این عضله با میزان استرس فرد به صورت خطی همبستگی دارد (Kreibig, 2010).

برای حذف نویه‌های ناشی از حرکت داوطلب که بیشتر در ابتداء و انتهای ثبت رخ داده است، ۱۰۰ ثانیه به صورت مشخص از میانه هر سیگنال به عنوان سیگنال نهایی انتخاب شده است (Kreibig, 2010). به منظور هموارسازی<sup>۳</sup> و هنجارسازی<sup>۴</sup> مقادیر برای حذف نویه و رفع تفاوت در خطوط پایه سیگنال‌ها در داوطلب‌های مختلف، فیلتر بالاگذر با ترورث استفاده شده است. فرکانس قطع برای هر سیگنال با توجه به حذف کمترین اطلاعات برگزیده شده است. رسانایی پوست تابعی از فعالیت غدد عرق است و دو گونه تغییرات ملایم و سریع در آن مشاهده می‌شود. تغییرات ملایم مربوط به عملکرد طبیعی غدد عرق به واسطه گرما و یا عوامل دیگر است و تغییرات سریع، تحت تأثیر احساسات و سطح برانگیختگی می‌باشد. تغییرات ملایم باعث ایجاد

با جاذبه مثبت و برانگیختگی بالا گزارش شده‌اند با معیارهای اخلاقی مادر تناقض است. از طرفی طبق گزارش شرکت کنندگان، حالت‌های عاطفی ایجاد شده در آنها یا شدت حالت ایجاد شده با نتایج گزارش شده در تناقض بود. این مورد به این دلیل است که هنجاریابی این داده‌ها بر روی افراد با ویژگی‌های فرهنگی مشخصی صورت گرفته است. لذا باید یک بانک داده استاندارد و در عین حال با ویژگی‌های بومی برای تحریک و ایجاد حالات عاطفی ایجاد شود.

در این مطالعه، قطعات مختلف فیلم مطابق با ریعهای فضای دوبعدی احساسات (شکل ۳)، برای ایجاد هر یک از وضعیت‌های شادی، خشم، لذت و حزن در نظر گرفته شده است. به منظور هنجاریابی<sup>۱</sup> فیلم‌ها قبل از آزمایش از ۳۰ نفر از افراد غیر شرکت‌کننده در آزمایش خواسته شد میزان برانگیختگی و ظرفیت قطعات فیلم را گزارش دهنده. برای این منظور از شکل استاندارد اندازه‌گیری برانگیختگی و ظرفیت با مقیاس نه‌گانه استفاده شده است (Morris, 1995). درنهایت با توجه به میانگین و انحراف استاندارد میزان برانگیختگی و ظرفیت گزارش شده توسط افراد برای قطعات فیلم، قطعاتی که مختصات اقلیدسی آن‌ها به هر یک از حالات عاطفی هدف نزدیک‌تر است، برای ایجاد هر یک از حالت‌های عاطفی انتخاب شده‌اند.

### ۳-۶- برپایی آزمایش

برای هر یک از شرکت‌کنندگان در آزمایش، قطعات فیلم ۳ تا ۵ دقیقه‌ای نمایش داده می‌شود. بین نمایش هر قطعه، تصویری آرامش‌بخش به مدت دو دقیقه برای قرار گرفتن شخص در حالت آرام نمایش داده می‌شود (Kim et al., 2004). قبل از انجام آزمایش، نکات لازم آموزش داده شده است و شرکت‌کنندگان موظفند با بیشترین توجه و حداقل حرکات اضافی بدن، به تماشای قطعات تصویری بپردازند. محیط به طور کامل آرامی در نظر گرفته شده است و شخص دیگری غیر از داوطلب در محیط آزمایشگاه حاضر نیست. در حین انجام آزمایش چهار سیگنال SC<sup>۲</sup>، ECG<sup>۳</sup>، PowerLab<sup>۴</sup> و RSP<sup>۵</sup> به صورت همزمان توسط دستگاه ADInstruments<sup>۶</sup> و رایانه دیگری که از دید داوطلب پنهان است، ثبت می‌گردد (شکل ۲). از نرم‌افزار LabChart<sup>۷</sup> نسخه ۷/۱ به منظور ثبت و پیش‌پردازش اولیه سیگنال‌ها استفاده شده است. در (شکل ۴) نمایی از شرایط انجام آزمایش و چگونگی ثبت سیگنال را مشاهده می‌کنید.

<sup>1</sup> Pilot Study

<sup>2</sup> Skin Conductance

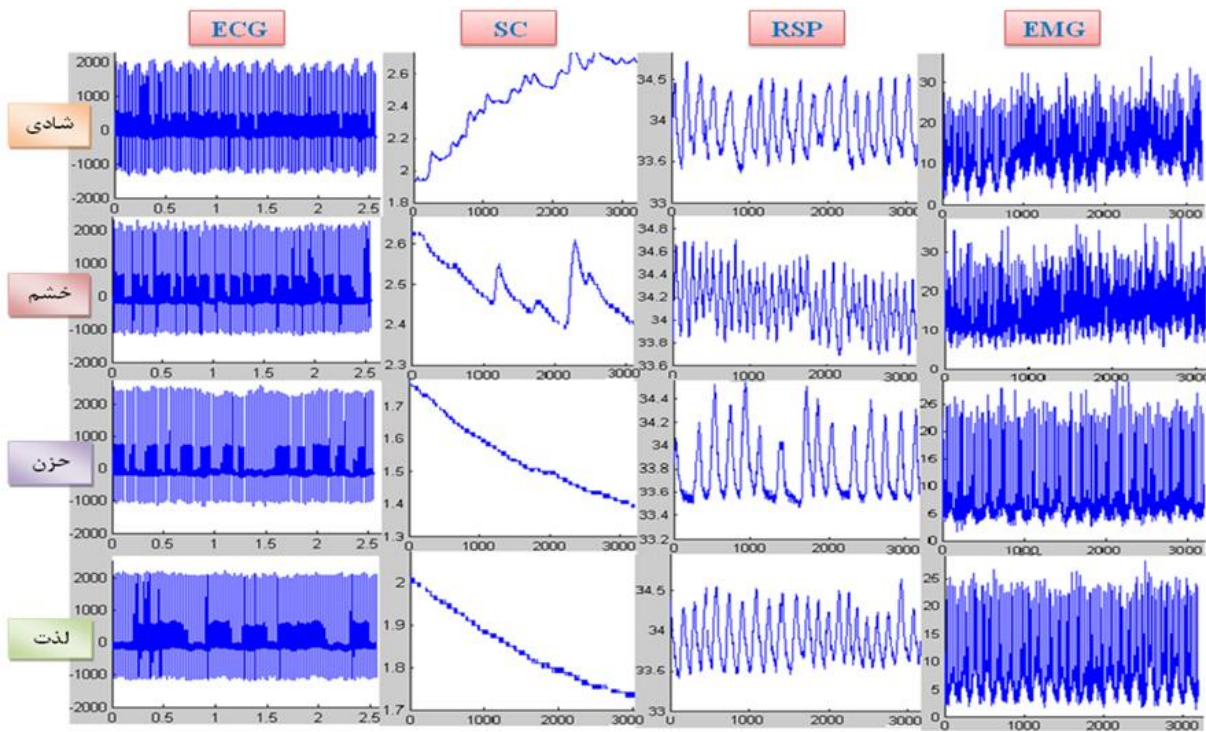
<sup>3</sup> Lead1

<sup>4</sup> Upper Trapezius Muscle

<sup>5</sup> Smoothing

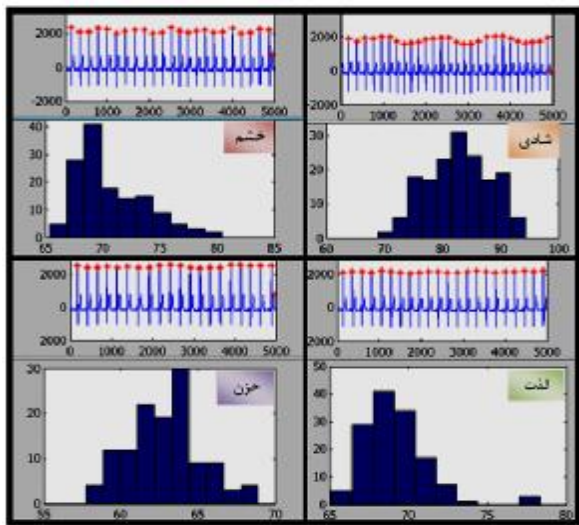
<sup>6</sup> Normalization

سال ۱۳۹۰ شماره ۲ پیاپی ۱۶



(شکل ۵) نمونه سیگنال‌های ثبت شده از یک داوطلب در چهار وضعیت مختلف احساسی (مجرد شفیعی و یزدجی، ۱۳۸۹)

ضربان قلب بر دقیقه برای سیگنال ECG از یک داوطلب در چهار حالت عاطفی مختلف نمایش داده شده است. درنهایت مشخصه‌های آماری همچون مقدار متوسط، میانه، انحراف معیار، بیشترین و کمترین مقدار برای تمامی مقادیر ذکر شده استخراج شده است.



(شکل ۶): مکان‌های تشخیص داده شده موج R و نمودار هیستوگرام نرخ تغییرات ضربان قلب بر دقیقه برای سیگنال ECG از یک داوطلب در چهار حالت عاطفی مختلف

برای سیگنال تنفسی پس از عبور آن از فیلتر پایین‌گذر با فرکانس قطع  $\frac{1}{3}$ . هرتز، مکان نقاط بیشینه سیگنال شناسایی شده است که نمایان گر قله سیگنال در هر سیکل تنفسی است. با توجه به فاصله هر دو قله متولی نرخ

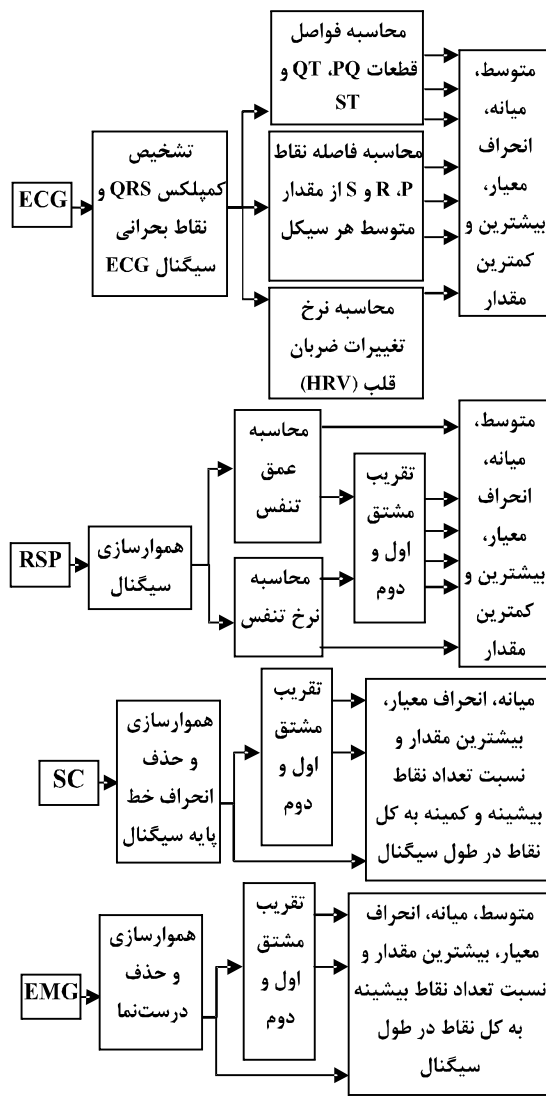
انحراف خط پایه در سیگنال SC می‌شود که باید قبل از پردازش حذف شود (Rani et al., 2006; Kreibig, 2010). همچنین، سیگنال EMG حاوی درستنمایی ناشی از ضربان قلب و تنفس است که با استفاده از فیلتر تطبیقی حذف شده است. (شکل ۵)، نمونه سیگنال‌های ثبت شده از یک داوطلب در چهار وضعیت مختلف احساسی را نشان می‌دهد. نرخ نمونه‌برداری سیستم برای کلیه سیگنال‌ها یک کیلو هرتز می‌باشد که برای استخراج ویژگی‌های حوزه زمان به منظور سرعت بخشیدن به پردازش، کاهش نمونه انجام گرفته است.

#### ۴- استخراج ویژگی

در (de Waele et al., 2009) مروری بر استخراج انواع ویژگی‌های سیگنال‌های فیزیولوژیک شده است. در این آزمایش با استفاده از الگوریتم (Pan & Tompkins) (Pan & Tompkins, 1985) سیگنال ECG مشخص گردیده است. سپس فواصل قطعات QT و ST و همچنین فاصله نقاط P, R و S از مقدار متوسط هر سیکل محاسبه می‌گردد. همچنین، نرخ تغییرات ضربان قلب (HRV<sup>۱</sup>) با توجه به تغییرات فاصله بین دو نقطه متولی R محاسبه می‌شود. در (شکل ۶)، مکان‌های تشخیص داده شده موج R و همچنین نمودار هیستوگرام نرخ تغییرات

<sup>۱</sup> Heart Rate Variability

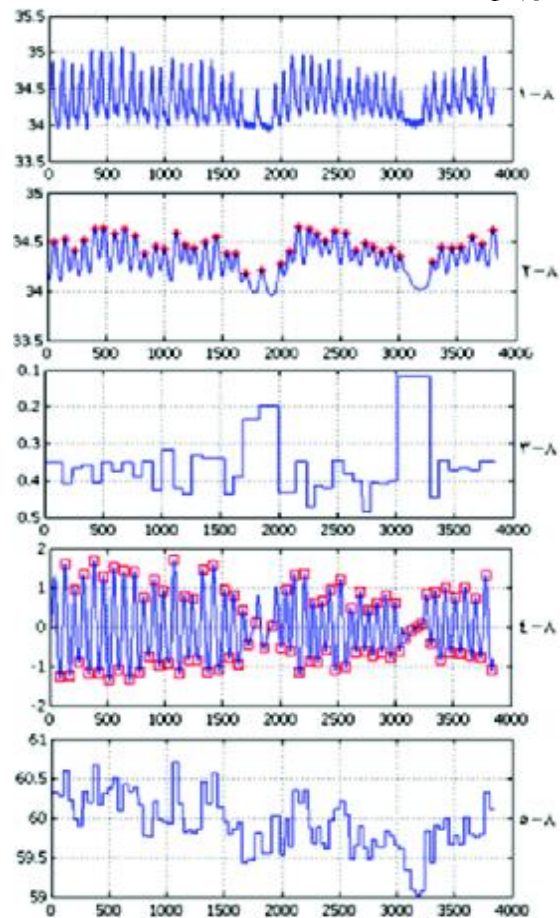
دو نقطه کمینه متواالی در طول سیگنال تقریب زده شده است و این مقادیر از سیگنال اصلی کم شده است. سیگنال **EMG** حاوی درستنماهای ناشی از ضربان قلب و تنفس است که باید حذف شود. بدین منظور ابتدا سیگنال از فیلتر پایین گذر عبور داده می‌شود و سپس با استفاده از فیلتر تطبیقی درستنماهای ضربان قلب حذف شده است. برای تحلیل سیگنال‌های غیرمتناوب **GSR** و **EMG**, تمرکز بر روی تغییرات دامنه سیگنال و چگونگی تغییرات سریع سیگنال است درنتیجه مشخصه‌های آماری همچون نسبت تعداد نقاط بیشینه و کمینه به کل نقاط در طول سیگنال، مقدار متوسط، میانه، انحراف معیار، بیشترین و کمترین برای این دو سیگنال و همچنین برای مشتق اول و دوم این دو سیگنال محاسبه گردیده است. در (شکل ۹) مراحل استخراج ویژگی از سیگنال‌های **ECG**, **RSP**, **SC** و **EMG** را مشاهده می‌کنید.



(شکل ۹): مراحل استخراج ویژگی از سیگنال‌های **RSP**, **ECG**, **EMG** و **SC**

سال ۱۳۹۰ شماره ۲ پیاپی ۱۶

تنفس<sup>۱</sup> تخمین زده شده است. در ادامه با تقریب مشتق اول سیگنال، بیشینه و کمینه سیگنال در هر عبور از صفر مشخص شده است. با توجه به اختلاف مقادیر هر بیشینه و کمینه متواالی، عمق تنفس<sup>۲</sup> تخمین زده شده است. در شکل ۱-۸ تا ۵-۸ مراحل محاسبه نرخ تنفس و عمق تنفس نمایش داده شده است. در ادامه مشخصات آماری شامل نسبت تعداد نقاط بیشینه به کل نقاط در طول سیگنال، مقدار متوسط، میانه، انحراف معیار، بیشترین و کمترین مقدار برای مقادیر نرخ تنفس، عمق تنفس و مشتق اول و دوم آن‌ها محاسبه شده است.



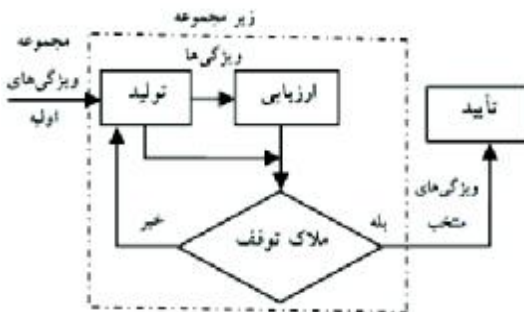
(شکل ۸): مراحل محاسبه نرخ تنفس و عمق تنفس.  
 (۱-۸) تبخیص نقاط بیشینه پس از عبور سیگنال سیگنال **RSP**  
 (۲-۸) محاسبه سیگنال نرخ تنفس با توجه به فاصله هر دو بیشینه متواالی  
 (۳-۸) محاسبه سیگنال نرخ تنفس با توجه به فاصله هر دو بیشینه و کمینه سیگنال در هر عبور از صفر  
 (۴-۸) تقریب مشتق اول سیگنال و  
 (۵-۸) تبخیص نقاط بیشینه و کمینه سیگنال عمق تنفس با توجه به اختلاف مقادیر هر بیشینه و کمینه متواالی

برای سیگنال **SCL** به منظور هموارسازی، فیلتر پایین گذر با فرکانس قطع ۰/۲ هرتز، استفاده شده است. سپس انحراف خط پایه سیگنال با توجه به میانگین مقدار هر

<sup>1</sup> Breathing Rate

<sup>2</sup> Breathing Intensity

(روش‌های جستجو). مرحله دوم ارزیابی و اندازه‌گیری توانایی آن مجموعه از ویژگی‌ها در دسته‌بندی است. مرحله سوم معیاری برای توقف برنامه است. درنهایت، مرحله چهارم تأیید مجموعه ویژگی‌های منتخب است. (شکل ۱۱) این مراحل را نشان می‌دهد. مراحل اول و دوم از اهمیت بیشتری برخوردارند. زیرا، نوع آنها، مشخصات و توانایی انتخاب‌گر را مشخص می‌کنند. همچنین طبقه‌بندی انتخاب‌گرها با توجه به نوع این دو مرحله صورت می‌گیرد (Guyon and Elisseeff, 2003).

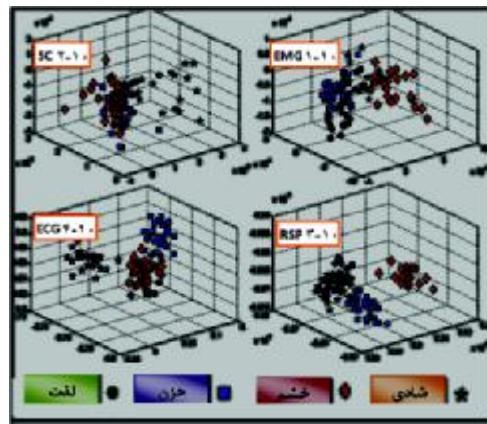


(شکل ۱۱): چهار مرحله اصلی تمامی روش‌های انتخاب ویژگی (مجردشفیعی و همکاران، ۱۳۸۹)

روش‌های ارزیابی انتخاب ویژگی به صورت اساسی از دو طریق انجام می‌شود. ۱- مجموعه ویژگی‌هایی انتخاب می‌شود که با آن جداساز عملکرد خوبی بر روی مجموعه آزمایش ارزیابی داشته باشد. بنابراین بسته به انتخاب جداساز ممکن است مجموعه ویژگی‌های مختلفی انتخاب شود. به این روش‌ها ریز<sup>۱</sup> گفته می‌شود. ۲- در این روش‌ها انتخابی مستقل از عملکرد جداسازی که قرار است طراحی شود انجام می‌گیرد و همپوشانی در توزیع داده‌ها محاسبه می‌شود. همچون همپوشانی مبتنی بر فاصله<sup>۲</sup>، وابستگی<sup>۳</sup> و ثبات<sup>۴</sup>. در این روش‌ها مجموعه ویژگی‌هایی انتخاب می‌شوند که این همپوشانی کمینه شود. به عبارت دیگر، تفکیک‌پذیری بیشینه شود. این روش فیلتر نامیده می‌شود (Saeys et al., 2007).

در مورد نحوه جستجو، دو روش اساسی برای انتخاب زیرمجموعه ویژگی‌ها وجود دارد. ۱- روش‌های بهینه: این روش‌ها شامل روش‌های جستجوی جامع<sup>۵</sup> که برای مسایل با تعداد ویژگی اندک امکان‌پذیرند و نیز روش‌های جستجوی سریع<sup>۶</sup> مانند الگوریتم‌های Branch and Bound و روش‌های متعدد دیگری همچون روش مونت‌کارلو، الگوریتم (SA)<sup>۷</sup> و الگوریتم ژنتیک (GA)<sup>۸</sup> می‌باشند. این

به منظور مقایسه توانایی ویژگی‌های استخراج شده از سیگنال‌ها در تفکیک چهار الگوی عاطفی مورد نظر، تصویر فیشر<sup>۹</sup> مورد استفاده قرار گرفته است. (شکل ۱۱-۱۰) تا (شکل ۱۱-۱۰) توزیع ویژگی‌های هر یک از چهار سیگنال RSP و EMG (GSR)، SC، ECG



(شکل ۱۰) نمایش توزیع ویژگی‌های چهار سیگنال GSR، ECG و RSP و EMG به منظور مقایسه توانایی آن‌ها در تفکیک چهار الگوی عاطفی

## ۵- مقایسه روش‌های انتخاب ویژگی

نتایج پژوهش (مجردشفیعی و همکاران، ۱۳۸۹) نشان می‌دهد بعضی از ویژگی‌های به دست آمده از سیگنال‌ها به صورت ذاتی برای ایجاد تفکیک چهار وضعیت احساسی مناسب نیستند و این امر درصد صحّت تفکیک را پایین می‌آورد. علاوه بر آن با توجه به بالا بودن تعداد ویژگی‌ها نسبت به تعداد نمونه‌ها، این نسبت برای اجرای الگوریتم دسته‌بندی مناسب نیست. از این‌رو فرآیند کاهش بُعد اجتناب‌ناپذیر است. مطلب مهم دیگر این است که با توجه به نتایج به دست آمده مشخص می‌شود استفاده از روش‌های کاهش ویژگی همچون PCA<sup>۱۰</sup> و ICA<sup>۱۱</sup> بدین‌منظور مناسب نیستند. زیرا هدف آنها تبدیل داده‌هایی با ابعاد بالا به داده‌هایی با ابعاد پایین‌تر با حذف کمترین اطلاعات است. این بدین معناست که در این روش‌ها با تبدیل بر روی ویژگی‌ها، ویژگی‌های جدیدی استخراج می‌شود. در صورتی که ما به دنبال انتخاب بهترین ویژگی‌های مربوط از میان کل ویژگی‌ها بدون تغییر در ماهیت ویژگی‌ها می‌باشیم (Van der Maaten et al., 2007). درنتیجه باید روش‌هایی برای انتخاب ویژگی‌ها، بدون ترکیب کردن آن‌ها اتخاذ شود (Picard et al., 2001).

در تمامی روش‌های انتخاب ویژگی چهار مرحله اصلی وجود دارد. مرحله اول تولید زیرمجموعه‌ای از ویژگی‌هاست

<sup>4</sup> Wrapper

<sup>5</sup> Distance

<sup>6</sup> Dependency

<sup>7</sup> Consistency

<sup>8</sup> Exhaustive

<sup>9</sup> Accelerated Search

<sup>10</sup> Simulated Annealing

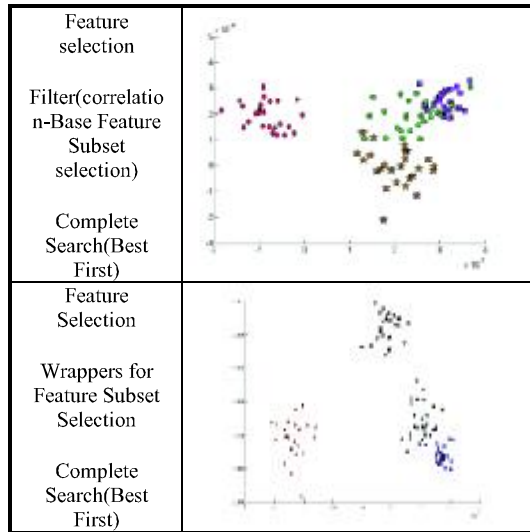
<sup>11</sup> Genetic algorithm

<sup>1</sup> Fisher Projection

<sup>2</sup> Principle Component Analysis

<sup>3</sup> Independent Component Analysis





## ۶- دسته‌بندی و نتایج

تحقیق ( مجرّد شفیعی و همکاران، ۱۳۹۰ ) نشان می‌دهد که انتخاب روش جداسازی می‌تواند نقش قابل توجهی در بالا بردن صحّت نتایج تفکیک داشته باشد. از این‌رو در این پژوهش مقایسه‌های بین اعمال اغلب روش‌های متداول جداسازی انجام شده است. روش‌های جداسازی مختلفی وجود دارد که از جمله آن‌ها می‌توان به<sup>۵</sup> SVM، شبکه‌های عصبی، درخت تصمیم<sup>۶</sup> و روش‌های بیزی<sup>۷</sup> اشاره کرد. هر کدام از این نقاط قوت و ضعفی دارد. در (جدول ۳) روش‌های جداسازی بر اساس چهار معیار مختلف با یکدیگر مقایسه شده‌اند.

(جدول ۳): مقایسه روش‌های جداسازی

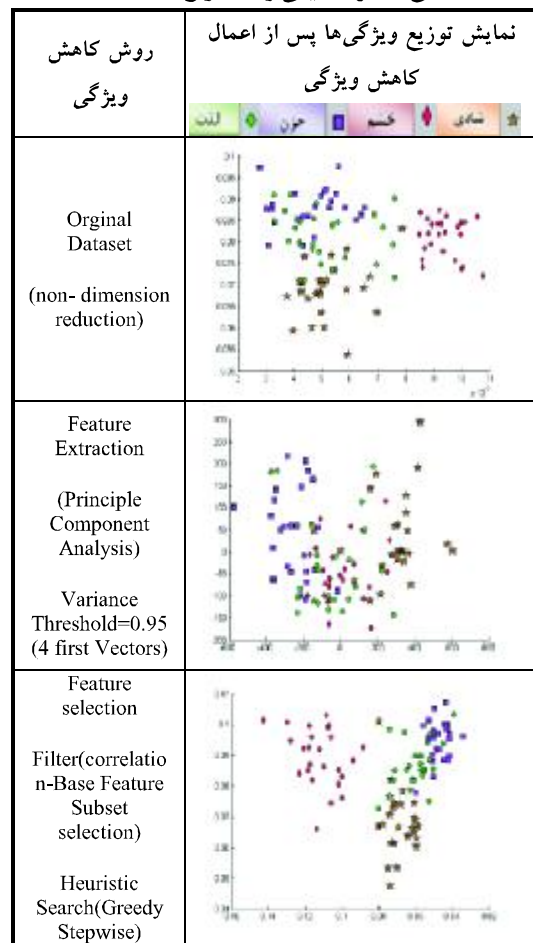
معیار \ روش	شبکه عصبی	درخت تصمیم	بیز	SVM
سرعت یادگیری با داده‌های محدود	پایین	خوب	عالی	پایین
مقاومت در برابر فقدان داده	پایین	خوب	عالی	متوسط
مقاومت در برابر نویز	متوسط	متوسط	خوب	متوسط
توانایی مقابله با fitting	پایین	متوسط	خوب	متوسط

هیچ جداساز خاصی نیست که در تمام موارد بهتر از سایر جداسازها عمل کند. درنتیجه در رویارویی با یک مسأله، ساده‌ترین راه انتخاب تعدادی از الگوریتم‌ها بسته به نوع مسأله، تخمین دقّت آن‌ها و درنهایت انتخاب دقیق‌ترین آن‌ها است (Kotsiantis et al., 2007).

شبکه‌های عصبی تا حدّ زیادی الهام گرفته شده از سیستم‌های یادگیر طبیعی است که در آن‌ها یک مجموعه پیچیده از نرون‌های به هم متصل در کار یادگیری دخیل

روش‌ها بر پایه بهینه‌سازی کلی هستند و از نظر محاسباتی پرهزینه می‌باشند. ۲- روش‌های بهینه نسبی<sup>۸</sup> در این روش‌ها مصالحه‌ای بین بهینه‌سازی و کارآیی محاسباتی انجام شده است و از روش‌های جستجوی اکتشافی استفاده می‌کنند. برای مثال الگوریتم‌های Greedy Stepwise<sup>۹</sup> (SBS<sup>۱۰</sup>) و (SFS<sup>۱۱</sup>) از این نوع هستند (Saeys et al., 2007) با توجه به تقسیم بندی‌های بیان شده برای کاهش بُعد و همچنین تقسیم‌بندی روش‌های جستجو و ارزیابی در انتخاب ویژگی، با استفاده از نرم‌افزار WEKA<sup>۱۲</sup> (Bouckaert and Frank, July, 2010) و نرم‌افزار RapidMiner (Jungermann, 2009) نسخه ۵.۱ (جدول ۲) نتایج حاصل را نشان می‌دهد. برای نمایش توانایی هر یک از روش‌ها، پس از اعمال هر یک از روش‌های کاهش بُعد، از تصویر فیشر و توزیع ویژگی‌های استخراج شده استفاده گردیده است.

(جدول ۲): نمایش توزیع ویژگی‌ها پس از اعمال روش‌های کاهش بعد به منظور مقایسه توانایی این روش‌ها در جداسازی چهار حالت عاطفی ( مجرّد شفیعی و همکاران، ۱۳۹۰ )



<sup>1</sup> Suboptimal

<sup>2</sup> Sequential Forward Selection

<sup>3</sup> Sequential Backward Selection

<sup>4</sup> Waikato Environment for Knowledge Analysis

<sup>5</sup> Support Vector Machine

<sup>6</sup> Decision Tree

<sup>7</sup> Bayes

سال ۱۳۹۰ شماره ۲ پیاپی ۱۶

سایر روش‌ها نیز، پارامترهای جداساز برای نیل به بهترین نتیجه، تنظیم می‌شوند. بهترین نتایج با توجه به نوع جداساز، برای تفکیک چهار وضعیت عاطفی بدون اعمال هیچ‌گونه از روش‌های کاهش بُعد، در (جدول ۴) نشان داده شده است.

(جدول ۴): انتخاب بهترین جداسازها و نتایج حاصل از آنها پس از اعمال اغلب روش‌های متداول جداسازی (بهمنظور تفکیک چهار وضعیت عاطفی)

روش جداسازی	Correctly Classified Instances	Confusion Matrix			
		A	B	C	D
				A	
				B	
				C	
				D	
		A = خشم و شادی B = حزن و لذت			
Multi Layer Perceptron (MLP)	%۸۵	۲۱	۱	۱	۲
		۰	۲۵	۰	۰
		۱	۰	۲۳	۱
		۵	۰	۴	۱۶
Radial Basis Function (RBF)	%۷۳	۱۸	۱	۰	۶
		۰	۲۵	۰	۰
		۱	۰	۲۰	۴
		۴	۲	۹	۱۰
SVM (Sequential Minimal Optimization)	%۸۳	۲۲	۰	۱	۲
		۰	۲۴	۰	۱
		۱	۰	۲۱	۳
		۵	۰	۴	۱۶
Bayes (Bayes Network Classifier)	%۸۰	۲۰	۰	۱	۴
		۳	۲۰	۰	۲
		۰	۰	۲۰	۵
		۲	۰	۳	۲۰
Bayes (Naive Bayes Classifier)	%۷۴	۱۹	۰	۱	۶
		۳	۲۱	۰	۱
		۱	۰	۲۰	۴
		۳	۱	۷	۱۴
Decision Tree (Random forest)	%۸۵	۲۱	۱	۱	۲
		۰	۲۵	۰	۰
		۰	۰	۲۲	۳
		۲	۰	۶	۱۷
Decision Tree (j48)	%۷۸	۱۹	۱	۲	۳
		۰	۲۵	۰	۰
		۰	۰	۱۸	۷
		۴	۰	۵	۱۶

هستند. جداساز SVM ابرصفحه‌هایی با حداقل حاشیه<sup>۱</sup> را به دست می‌آورد که دسته‌ها را جدا کنند. در مسایلی که داده‌ها به صورت خطی جداپذیر نباشند، داده‌ها به فضای با ابعاد بیشتر نگاشت پیدا می‌کنند تا بتوان آن‌ها را در این فضای جدید، به صورت خطی جدا نمود. در این تحقیق برای پیاده‌سازی SVM با هدف بیشینه‌سازی فاصله بین طبقه‌ها از Sequential Minimal Optimization نسخه استفاده شده است. ایده کلی این است که پس از نرم‌السازی داده‌ها، طبقه‌ها دو به دو با روش مشابه SVM جدا می‌شوند.

روش‌های بیز بر این اصل استوار است که برای هر کمیتی یک توزیع احتمال وجود دارد که با مشاهده یک داده جدید و استدلال در مورد توزیع احتمال آن می‌توان تصمیمات بهینه‌ای اتخاذ کرد. شبکه بیزی تمام وابستگی‌های شرطی بین ویژگی‌ها را در نظر می‌گیرد. بیز ساده<sup>۲</sup> یک الگوریتم یادگیری ساده و کاراست که با فرض استقلال شرطی و نادیده گرفتن وابستگی بین ویژگی‌ها، باعث کاهش پیچیدگی و در بعضی موارد باعث کاهش دقت می‌شود. ایده اصلی درخت تصمیم مبتنی بر این حقیقت است که هر ویژگی داده ورودی می‌تواند برای تصمیم‌گیری استفاده شده و داده‌ها را به زیرمجموعه‌های کوچک‌تری تقسیم کند. این الگوریتم از بهره اطلاعات<sup>۳</sup> نرم‌الساز (مبتنی بر تفاوت آنتروپی) استفاده نموده، ویژگی با بالاترین بهره اطلاعاتی را برای تصمیم‌گیری انتخاب کرده و بر اساس آن داده‌های ورودی را به زیرمجموعه‌های کوچک‌تر تقسیم می‌کند (Kirkos et al., 2008).

با استفاده از نرم‌افزار WEKA نسخه ۳.۶.۳، این روش‌های جداسازی بر روی داده‌ها اعمال می‌شود. برای آموزش و آزمون دسته‌بندی کننده‌ها از روش ارزیابی متقابل k-تایی<sup>۴</sup> استفاده شده است. به این صورت که مجموعه داده‌ها به صورت تصادفی به K قسمت تقسیم و یادگیری K مرتبه تکرار می‌گردد. در هر مرتبه K-1 قسمت برای آموزش و یک قسمت برای آزمایش استفاده می‌شود و میانگین نتایج به دست آمد، به عنوان نتیجه ارزیابی ارائه می‌گردد. در این مقاله k مقدار متداول ۱۰ در نظر گرفته شده است. در روش MLP، تعداد نرون‌های لایه مخفی برابر نصف مجموع تعداد ویژگی‌ها و تعداد طبقه‌ها می‌باشد. تعداد اپوکها<sup>۵</sup> برابر ۵۰۰، میزان خطای توقف آموزش برابر ۰/۰۰۱، نرخ یادگیری<sup>۶</sup> برابر ۰/۳ و ممتنم<sup>۷</sup> برابر ۰/۲ در نظر گرفته شده است. برای

<sup>1</sup> Maximum Margin

<sup>2</sup> Naive Bayes Classifier

<sup>3</sup> Information Gain

<sup>4</sup> K-fold cross-validation

<sup>5</sup> Epoch

<sup>6</sup> LearningRate

<sup>7</sup> Momentum

همان‌گونه که از نتایج جدول مشخص است، روش PCA نتهاها باعث بهبود درصد صحت تفکیک نمی‌شود، بلکه باعث کاهش آن نیز می‌شود. دلیل این موضوع را می‌توان استدلال ارائه شده در بخش ۵ دانست. نتایج نشان می‌دهد روش جستجوی BestFirst عملکرد بهتری نسبت به روش Greedy Stepwise در انتخاب ویژگی دارد. همچنین روش ارزیابی رپر نتایج بهتری نسبت به روش فیلتر در انتخاب ویژگی دارد. با توجه به (جدول ۵) مشخص می‌شود که ترکیب اعمال روش کاهش ویژگی مناسب و اعمال روش جدادسازی مناسب می‌تواند صحت نتایج را بهبود ببخشد. استفاده همزمان از روش ارزیابی Wrapper و روش جستجوی جامع Best First به همراه استفاده از چهار جدادساز منتخب می‌تواند صحت نتایج را به بالاتر از ۹۰٪ نیز برساند.

## ۷- جمع‌بندی و نتیجه‌گیری

در این پژوهش سعی شده است با طراحی آزمایش مناسب و معترض و همچنین استفاده از روش‌های مناسب پیش‌پردازش سیگナル، استخراج ویژگی، کاهش ویژگی و جدادسازی، چهار وضعیت احساسی مختلف با توجه به تغییرات فیزیولوژیک بازشناسی و تفکیک شود.

ثبت داده‌های معترض محدودیت‌های ثبت داده رعایت شود. این تحقیق است. زیرا در صورت عدم اطمینان از اعتبار و دقیقت در ثبت داده‌ها بقیه مراحل تحقیق نیز با مشکل مواجه خواهد شد. از این‌رو با توجه به نتایج تحقیقات پیشین، سعی شده است تمامی محدودیت‌ها شامل ثبت صحیح سیگنال‌ها، ویژگی‌های افراد شرکت‌کننده در آزمایش و انتخاب صحیح حالت‌های عاطفی که قصد تفکیک آن‌ها را داریم، می‌باشد که در بخش‌های مختلف توضیح داده شد. همچنین نحوه صحیح ایجاد حالت‌های عاطفی در شرکت‌کنندگان حائز اهمیت است. مشاهده شد برای ایجاد عواطف، داده‌های استاندارد همچون IADS و IAPS به عنوان تفاوت‌های بومی و فرهنگی مناسب نیستند. لذا بانک داده مناسب برای این کار تولید شد.

با توجه به (شکل‌های ۵ و ۶)، بعضی از ویژگی‌ها همچون افزایش نرخ ضربان قلب در جاذبه مثبت (شادی و لذت)، افزایش دامنه سیگنال فعالیت ماهیچه ذوزنقه‌ای در برانگیختگی بالا (خشم و شادی) که نشان‌دهنده افزایش فعالیت ماهیچه در این وضعیت است، افزایش نرخ تنفس در حالت خشم و تغییرات سریع در رسانایی پوست در

مشاهده می‌شود جدادسازهای SVM، MLP و RBF نتایج قابل قبولی دارند. با این وجود با توجه به نتایج بالای جدادسازهای مبتنی بر روش بیز و درخت تصمیم‌گیری و همچنین ویژگی‌های مثبت این جدادسازها نسبت به جدادسازهای قبلی، همچون سرعت یادگیری با داده‌های محدود، مقاومت در برابر نویز و توانایی مقابله با Over fitting، استفاده از این جدادسازها برای این بازنایی ارجحیت خواهد داشت.

تمامی روش‌ها در تفکیک حالت لذت ضعیف می‌باشند. درصورتی که به طور تقریبی تمامی روش‌ها حالت خشم را با دقیقت بالایی تفکیک می‌کنند. برای تفکیک دو حالت شادی و حزن توانایی جدادسازهای مختلف متفاوت است. به صورت کلی مشخص می‌گردد که فرآیند تفکیک در راستای محور برانگیختگی آسان‌تر از محور جاذبه است.

با توجه به نتایج این روش‌های برگزیده جدادسازی، به طور مجدد چهار روش برتر از میان آنها با توجه به درصد صحت تفکیک، انتخاب شده است. پس از اعمال انواع روش‌های کاهش بُعد مقایسه شده در (جدول ۲)، از این چهار روش برتر جدادسازی استفاده شده است. (جدول ۵)، نتایج حاصل از اعمال چهار نوع جدادساز منتخب، پس از استفاده از انواع روش‌های کاهش بعد را نشان می‌دهد.

(جدول ۵) نتایج حاصل از اعمال چهار نوع جدادساز برگزیده (با توجه به نتایج (جدول ۴)). پس از اعمال انواع روش‌های کاهش ویژگی

روش انتخاب ویژگی (روش ارزیابی و روش جستجو)	Multi Layer Perceptron	Bayes Network Classifier	Decision trees (Random forest)	SVM (Sequential Minimal Optimization)
Orginal Dataset (non-dimension reduction)	٪۸۵	٪۸۰	٪۰۰۸۵	٪۸۳
Feature Extraction (PCA) Variance Threshold=0.95 (4 first Vectors)	٪۶۱	٪۵۳	٪۴۶	٪۵۹
Feature selection Filter(correlation)-Heuristic Search(Greedy Stepwise)	٪۷۸	٪۸۹	٪۸۰	٪۸۷
Feature selection Filter(correlation)-complete Search(Best First)	٪۸۶	٪۸۸	٪۸۶	٪۸۹
Feature selection Filter(Consistency)-Heuristic Search(Greedy Stepwise)	٪۸۸	٪۸۰	٪۸۰	٪۸۵
Feature Selection Wrappers - Complete Search(Best First)	٪۹۰	٪۹۲	٪۸۸	٪۹۱

**Best First** این روش‌های جامع، بهترین نتیجه را روش ایجاد می‌کند. از میان روش‌های متداول جداسازی بهترین نتایج، متعلق به هشت روش جداسازی (جدول ۴) می‌باشد. مشاهده می‌شود جداسازهای **MLP** و **RBF**، نتایج قابل قبولی دارند. با این وجود با توجه به نتایج بالای جداسازهای مبتنی بر روش بیز و درخت تصمیم‌گیری و همچنین ویژگی‌های مثبت این جداسازها نسبت به جداسازهای قبلی همچون سرعت یادگیری با داده‌های **Over fitting**، استفاده از این جداسازها برای این بازناسی ارجحیت خواهد داشت.

تمامی روش‌های جداسازی در تفکیک حالت لذت ضعیف می‌باشند. در صورتی که به طور تقریبی تمامی روش‌ها حالت خشم را با دقّت بالایی تفکیک می‌کنند. برای تفکیک دو حالت شادی و حزن توانایی جداسازهای مختلف متفاوت است. به صورت کلی مشخص می‌گردد که فرآیند تفکیک در راستای محور برانگیختگی آسان‌تر از محور جاذبه است و نیز توانایی سیگنال‌های **SC** و **EMG** برای تفکیک در این مورد بیشتر است.

علی‌رغم نتایج قابل قبول به دست آمده در این پژوهش، میدان زیادی برای توسعه این بررسی‌ها وجود دارد. از جمله‌ی این موارد می‌توان به استفاده از دیگر کاتال‌های ورودی برای بازناسی همچون بررسی تغییرات در سیگنال مغزی یا روش‌های دیداری-شنیداری همچون بازناسی حالت چهره، حرکات شخص و بازناسی حالت سخن‌گفتن شخص و ترکیب ویژگی‌های آن‌ها با ویژگی‌های به دست آمده از سیگنال‌های محیطی اشاره نمود. تمامی این توصیفات بررسی‌های جدید و کاملی طلب می‌کنند که جزء فعالیت‌های آتی حاصل از این پژوهش بر شمرده می‌شود.

## تشکر و قدردانی

از مسؤولان محترم آزمایشگاه ایزار دقیق و مهندسی پژوهشی دانشگاه اصفهان برای همکاری ایشان تشکر می‌نماییم. همچنین، از کلیه داوطلبان شرکت‌کننده در مراحل مختلف پژوهش، صمیمانه سپاس‌گزاریم.

## -۸ منابع

Bouckaert, R.R., Frank, E., July, 2010. WEKA manual for version 3.6.3.

Bradley, M., Lang, P.J., Emotion, U.o.F.C.f.t.S.o., Attention, Health, N.I.o.M., 1999. The International affective digitized sounds (IADS)[:] stimuli,

برانگیختگی بالا، بدون نیاز به تحلیل کمی نیز در تغییرات سیگنال‌ها مشاهده می‌شود. این تغییرات نشان می‌دهد سیگنال‌های فیزیولوژیک قابلیت تفکیک حالت‌های عاطفی را دارند. اما این قابلیت با توجه به نوع سیگنال و حالت عاطفی مورد نظر متفاوت است. این موضوع را می‌توان در (شکل ۱۰) مشاهده کرد.

مشاهده شد که علی‌رغم رعایت تمامی محدودیت‌ها، سیگنال‌های ثبت شده شامل انواع نوفه و درست‌نامها هستند. از این‌رو پیش‌پردازش مناسب سیگنال، نقش بسیار مهمی در نتایج خواهد داشت. در این مرحله باید از روش‌هایی استفاده شود که اطلاعات نامناسب با توجه به حذف کمترین اطلاعات مفید یا تغییر در سیگنال، از سیگنال‌ها حذف شود.

با توجه به انتخاب ویژگی‌های متفاوت توسط روش‌های مختلف انتخاب ویژگی یا در شرایط متفاوت آزمایش، نمی‌توان ویژگی‌های مشخصی را به عنوان بهترین ویژگی‌های استخراج شده از سیگنال‌های محیطی برای بازناسی در نظر گرفت. حداقل برای یک سیستم مستقل از فرد و حالت‌های احساسی مختلف این روش بهینه نخواهد بود. بهتر است ویژگی‌های گوناگون استخراج شود و سپس مرحله‌ای به منظور انتخاب ویژگی‌های مناسب اضافه گردد. متفاوت بودن ویژگی‌های مورد استفاده برای بازناسی در تحقیقات پیشین نیز این نکته را تأیید می‌کند. در این تحقیق ویژگی‌های متنوع و مناسبی در حوزه زمان استخراج شده است. با این وجود با توجه به تحقیقات پیشین، استفاده از ویژگی‌های دیگری همچون ویژگی‌های حوزه فرکانس و ویژگی‌های غیر خطی می‌تواند در بازناسی نقش قابل ملاحظه‌ای داشته باشد که در تحقیقات آینده به آن پرداخته خواهد شد.

با توجه به (جدول ۴ و ۵) گزینش روش‌های انتخاب ویژگی، استخراج ویژگی، دسته‌بندی کننده و نیز روش‌های ترکیبی مناسب می‌تواند باعث تغییرات قابل توجهی در صحت نتایج بازناسی شود. با توجه به نتایج نشان داده شده در (جدول ۲ و ۵) مشخص می‌شود که استفاده از روش‌های استخراج ویژگی همچون PCA برای این نوع بازناسی مناسب نیست. بنابراین باید روش‌هایی برای انتخاب ویژگی‌ها، بدون ترکیب کردن آنها اتخاذ شود. از میان روش‌های انتخاب ویژگی با توجه به روش جستجو و روش ارزیابی، روش ارزیابی ریز نتایج بهتری نسبت به روش فیلتر نشان داد. همچنین، روش‌های جستجوی جامع نتایج بهتری نسبت به روش‌های جستجوی اکتشافی دارد. از میان



ARTIFICIAL INTELLIGENCE AND APPLICATIONS 160, 3.

Kreibig, S.D., 2010. Autonomic nervous system activity in emotion: A review. *Biological psychology* 84, 394-421.

Lang, P., Bradley, M., Cuthbert, B., 1999. International affective picture system (IAPS): Instruction manual and affective ratings. University of Florida. The Center for Research in Psychophysiology.

Larsen, J.T., Berntson, G.G., Poehlmann, K.M., Ito, T.A., Cacioppo, J.T., 2008. The psychophysiology of emotion. *Handbook of emotions*, 180-195.

Lazarus, R.S., 1991. Emotion and adaptation. Oxford University Press, USA.

Leon, E., Clarke, G., Callaghan, V., Sepulveda, F., 2007. A user-independent real-time emotion recognition system for software agents in domestic environments. *Engineering applications of artificial intelligence* 20, 337-345.

Lisetti, C.L., Nasoz, F., 2004. Using noninvasive wearable computers to recognize human emotions from physiological signals. *EURASIP Journal on Applied Signal Processing* 2004, 1672-1687.

Mehrabian, A., 1996. Pleasure-arousal-dominance: A general framework for describing and measuring individual differences in temperament. *Current Psychology* 14, 261-292.

Morris, J.D., 1995. Observations: SAM: The Self-Assessment Manikin An Efficient Cross-Cultural Measurement Of Emotional Response 1. *Journal of Advertising Research* 35, 1-6.

Pan, J., Tompkins, W.J., 1985. A real-time QRS detection algorithm. *Biomedical Engineering, IEEE Transactions on*, 230-236.

Picard, R.W., 2003. Affective computing: challenges. *International Journal of Human-Computer Studies* 59, 55-64.

Picard, R.W., Vyzas, E., Healey, J., 2001. Toward machine emotional intelligence: Analysis of affective physiological state. *Pattern Analysis and Machine Intelligence, IEEE Transactions on* 23, 1175-1191.

Rani, P., Liu, C., Sarkar, N., Vanman, E., 2006. An empirical study of machine learning techniques for affect recognition in human–robot interaction. *Pattern Analysis & Applications* 9, 58-69.

Saeys, Y., Inza, I., Larrañaga, P., 2007. A review of feature selection techniques in bioinformatics. *Bioinformatics* 23, 2507-2517.

instruction manual and affective ratings. NIMH Center for the Study of Emotion and Attention.

Chanel, G., Kierkels, J.J.M., Soleymani, M., Pun, T., 2009. Short-term emotion assessment in a recall paradigm. *International Journal of Human-Computer Studies* 67, 607-627.

Custódio, L., Ventura, R., Pinto-Ferreira, C., 1999. Artificial emotions and emotion-based control systems. *IEEE*, pp. 1415-1420 vol. 1412.

de Waele, S., de Vries, G.J., Jager, M., 2009. Experiences with adaptive statistical models for biosignals in daily life. *IEEE*, pp. 1-6.

Desmet, P., Overbeeke, K., Tax, S., 2001. Designing Products with Added Emotional Value: Development and Application of an Approach for Research Through Design. *The design journal* 4, 32-47.

Goldberg, D., Williams, P., 2006. General health questionnaire. GL Assessment.

Gratch, J., Marsella, S., 2004. A domain-independent framework for modeling emotion. *Cognitive Systems Research* 5, 269-306.

Guyon, I., Elisseeff, A., 2003. An introduction to variable and feature selection. *The Journal of Machine Learning Research* 3, 1157-1182.

Jungermann, F., 2009. Information extraction with rapidminer. *Proceedings of the GSCL Symposium Sprachtechnologie und eHumanities*'(W. Hoepfner, ed.), 50-61.

Katsis, C.D., Katertsidis, N., Ganiatsas, G., Fotiadis, D.I., 2008. Toward emotion recognition in car-racing drivers: A biosignal processing approach. *Systems, Man and Cybernetics, Part A: Systems and Humans, IEEE Transactions on* 38, 502-512.

Kim, K.H., Bang, S., Kim, S., 2004. Emotion recognition system using short-term monitoring of physiological signals. *Medical and biological engineering and computing* 42, 419-427.

Kirkos, E., Spathis, C., Manolopoulos, Y., 2008. Support vector machines, Decision Trees and Neural Networks for auditor selection. *Journal of Computational Methods in Science and Engineering* 8, 213-224.

Kotsia, I., Buciu, I., Pitas, I., 2008. An analysis of facial expression recognition under partial facial image occlusion. *Image and Vision Computing* 26, 1052-1067.

Kotsiantis, S., Zaharakis, I., Pintelas, P., 2007. Supervised machine learning: A review of classification techniques. *FRONTIERS IN*

علاقه ایشان پردازش سیگنال های حیاتی، گفتار، تصویر و سیستم های الهام گرفته؛ بسته، می باشد.

نیشانی رایانمک اپیشان عبارت است از:

yazdchi@eng.ui.ac.ir

مهران عمادی اندانی مدرک

- کارشناسی خود را در مهندسی برق  
الکترونیک از دانشگاه صنعتی  
اصفهان در سال ۱۳۷۵، کارشناسی  
ارشد و دکتری خود را به ترتیب در

سال‌های ۱۳۷۸ و ۱۳۸۷ در مهندسی برق- بیوالکتریک از دانشگاه تهران دریافت نموده است. وی در حال حاضر استادیار گروه مهندسی پزشکی دانشکده فنی مهندسی دانشگاه اصفهان می‌باشد. زمینه‌های پژوهشی مورد علاقهٔ ایشان علوم اعصاب محاسباتی، علوم اعصاب شناختی، دارونمای حرکتی، مدل‌سازی و شناسایی سیستم‌های زیستی و بازشناسی الگو می‌باشد.

نشانی، رایانمک ایشان عبارت است از:

[emadi@eng.ui.ac.ir](mailto:emadi@eng.ui.ac.ir)

Van Der Maaten, L., Postma, E., Van Den Herik, H., 2007. Dimensionality reduction: A comparative review. Published online 10, 1-35.

Zeng, Z., Pantic, M., Roisman, G.I., Huang, T.S., 2009. A survey of affect recognition methods: Audio, visual, and spontaneous expressions. *Pattern Analysis and Machine Intelligence, IEEE Transactions on* 31, 39–58.

مجرد-شفیعی ب، یزدچی م، کمی‌سازی و بازشناسی احساسات مبتنی بر تغییرات فیزیولوژیک، مجموعه مقالات هفدهمین کنفرانس مهندسی پزشکی ایران (ICBME2010)، آبان ۱۳۸۹.

مجرّد شفیعی ب، یزدچی م، محمدبیگی م، مقایسه روش‌های کاهش ویژگی و دسته بندی به منظور بازشناسی خودکار حالت عاطفی مبتنی بر تغییرات فیزیولوژیکی، مجموعه مقالات چهارمین کنفرانس سلامت الکترونیکی و کاربردهای ICT در پزشکی ایران (ISMI2011)، بهمن ۱۳۸۹.

## بیه - روز مجرّد شفیعی مدرک

کارشناسی خود را در رشته مهندسی پزشکی در سال ۱۳۸۸ و کارشناسی ارشد را در مهندسی پزشکی-بیوکلکتریک در سال ۱۳۹۱ از دانشگاه اصفهان، د. بافت نموده است.

زمینه‌های پژوهشی مورد علاقه ایشان علوم اعصاب، محاسبات عاطفی، پردازش سیگنال‌های حیاتی و بازشناسی الگوهای مبادله.

نیشانه، اینامک ایشان، عیا، ت است از:

behrooz.m.sh@eng.ui.ac.ir

محمد رضا یزدچی، مدرک

کارشناسی خود را در سال ۱۳۷۶ در رشته مهندسی برق - الکترونیک از دانشگاه صنعتی اصفهان دریافت نمود. وی موفق به اخذ مدارک کارشناسی، ارشد و دکترای تخصصی،

در رشته مهندسی پزشکی- بیوالکتریک در سال های ۱۳۷۸ و ۱۳۸۵ از دانشگاه صنعتی امیرکبیر تهران گردید. پس از اتمام تحصیلات، از سال ۱۳۸۵ به صورت رسمی به سمت عضو هیأت علمی گروه مهندسی پزشکی دانشکده فنی مهندسی دانشگاه اصفهان درآمد. زمینه های پژوهشی مورد